

В таблиці наведені дані, які відбивають швидкість виведення Т-1824 протягом години (дослідження були проведені на п'ятьох собаках).

За одержаними даними, при перфузії кінцевки протягом години під постійним тиском (120 мм рт. ст.) видаляється 0,097—0,12% барвника на 100 г перфузованої тканини.

Характер видалення Т-1824 при перфузії ізольованих кінцевок собак

№ собаки	Вага лапи в г	Вихід- ні дані	Д						% видалення барвника при перфузії лапи	% видалення барвника на 100 г перфу- зованої ткани- ни		
			протягом (хв)									
			10	20	30	40	50	60				
1	580	299	298	297	298	297	297	297	0,6	0,1		
2	598	270	269	269	—	268	—	268	0,7	0,11		
3	935	332	332	331	331	330	329	329	0,91	0,097		
4	1200	377	377	375	372	373	373	371	1,5	0,12		
5	1220	350	349	348	347	346	345	345	1,5	0,12		

Оскільки фарба Т-1824 утворює стійку комплексну сполуку з білками плазми, дослідження характеру її виведення свідчить про інтенсивність видалення крупнодисперсних сполук із судинної системи перфузованої кінцевки.

Описана методика (при застосуванні різних індикаторів) може бути використана для з'ясування стану капілярних мембрани при різних фізіологічних і патологічних станах.

Література

1. Ойвин И. А.— Сб.: Материалы по патогенезу воспаления и патол. сосуд. проницаемости. Душанбе, 1956, 3, 5.
2. Ойвин И. А., Ойвин В. И., Юшина Г. Н.— Материалы по патогенезу воспаления и патол. белков крови. Душанбе, 1961, 5, 175.
3. Русеньяк Е. Ф., Фельди М., Сабо М.— Патология и физиология лимфообращения. Будапешт, 1958.
4. Хаютин В. М.— Сосудодвигательные рефлексы, М., 1964.
5. Цвейфах Б. В.— Патофизiol. и экспер. терапия. 1964, 2, 6.
6. Germuth— J. Pharmacol. Rev., 1956, 8, 1, 321.
7. Klemper E.— Permeability in acute exp. inflam. oedema, 1960, 8.
8. Rarenheimer J.— Physiol. Rev., 1953, 33, 3, 387.
9. Rarenheimer J., Soto-Rivera A.— Am. J. Physiol., 1948, 152, 3, 471.
10. Renkin E., Zaun B.— Am. J. Physiol., 1955, 180, 498.

Надійшла до редакції
31.III 1966 р.

Новий метод реєстрації прекардіальної низькочастотної балістокардіограми на щурах

Ю. А. Кучак

Всесоюзний науково-дослідний інститут гігієни
і токсикології пестицидів полімерних і пластичних мас, Київ

Відомо, що метод балістокардіографії (БКГ) дає об'ективну інформацію про інотропну функцію міокарда, про те, з якою силою і швидкістю викидається кров з шлуночків у магістральні судини, про наповнення серця під час діастоли, а також про синхронність і характер скорочень правого і лівого шлуночків. Таку інформацію можна використати для з'ясування впливу фармакологічного і токсичного агента на серцево-судинну систему.

Цей метод широко застосовується в клініці, проте в експерименті він не дістав належного визнання через технічні ускладнення в методичному записі БКГ на тваринах. Однією з таких перешкод є висока частота серцевих скорочень у дрібних лабораторних

тварин, тому що максимальна перебуває в межах 120 уд./хв.

Запропонована нами стичні комплекси у більших щурах. Ми відмовилися від

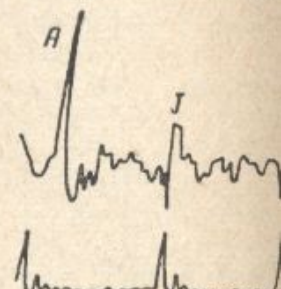


Рис. 1. Прекардіальна кардіограма (верхня електрокардіограма) і балістокардіограма (щура при підсиленні 50 разів) з амплітуда вдиху, що систолічного викиду крові

тушки з магнітом та сконструйованою з тонкої гуми, що відповідає $0,3 \text{ см}^3$.

Щура, наркотизовану, щадку, демпфовану пенопластом, поміщену в гостру голку, яка на противесі $(1 \times 1 \text{ см})$. П'езомікрофон, зроблений з чашки голки. Ртуть разом з стичні сили серця передають туті чого виникають повітряні ціали, які посилюються електричною

Отже, на чотириканальну низькочастотну ($8-30 \text{ Гц}$) лібруванні 100 мкв з амплітудою задовільним диференціюванням.

Для прикладу на рисунку показано підсиленнях.

тварин, тому що максимальна технічна межа пропускної здатності балістокардіографа перебуває в межах 120 ударів серця за хвилину.

Запропонована нами методика дозволяє реєструвати добре диференційовані балістичні комплекси у більшіх шурів з частотою серцевого ритму 300—500 скорочень за хвилину. Ми відмовилися від широко застосуваного датчика у вигляді індукційної ко-

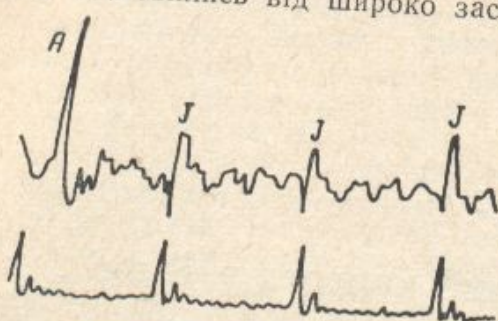


Рис. 1. Прекардіальна балістокардіограма (верхня крива) і електрокардіограма (нижня крива) щура при стандартному підсиленні 50 мкв з амплітудою 10 м.м.
A — амплітуда вдиху, J — амплітуда систолічного викидання на балістокардіограмі.

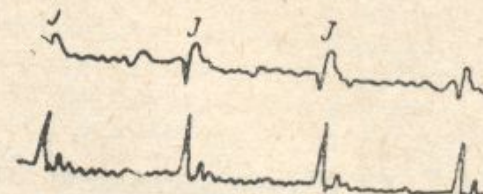


Рис. 2. Балістокардіограма (верхня крива) і електрокардіограма (нижня крива) при стандартному підсиленні 50 мкв з амплітудою 5 м.м.
Позначення див. рис. 1.

тушки з магнітом та сконструювали датчик, який являє собою п'єзомікрофон з мембрanoю з тонкої гуми, що вільно звисає, в її порожнині переміщається ртутна маса ($0,3 \text{ см}^3$).

Шура, наркотизованого хлоралозою (55 мг/кг), вміщують на важку дерев'яну площадку, демпфовану пенопластом. У ділянку грудної кістки перпендикулярно вколоють гостру голку, яка на протилежному кінці має чашевидне потовщення з органічного скла ($1 \times 1 \text{ см}$). П'єзомікрофон, закріплений у рухомому штативі, опускається мембраною на чашку голки. Ртуть разом з мембраною контактно слідує за зміщенням голки. Балістичні сили серця передаються крізь скелетний кістяк та голку на мембрани, в результаті чого виникають повітряні хвилі, що збуджують у п'єзокристалі електричні потенціали, які посилюються електроенцефалографом.

Отже, на чотириканальному чорнилопишучому електроенцефалографі записували низькочастотну ($8—30 \text{ гц}$) пряму балістокардіограму швидкості при стандартному калібруванні 100 мкв з амплітудою 5 і 10 м.м . Морфологічна структура БКГ відрізнялась задовільним диференціюванням систолічних комплексів, таких самих, як у людини. Для прикладу на рис. 1 і 2 наведена балістокардіограма щура при двох різних підсиленнях.